

уровня  $A_{1g}$ , преобразующегося по единичному представлению. Для вырожденных уровней  $E_g$  и  $F_{1u}$  это, вообще говоря, не так, и необходимо использовать неограниченное приближение Хартри—Фока. Однако если расщепление исходного шестикратно квазивырожденного уровня  $A_{1g} \oplus E_g \oplus F_{1u}$  за счет межэлектронного взаимодействия не слишком велико, более важным может оказаться эффект Яна—Теллера, снимающий вырождение за счет несимметричного искажения кристаллического окружения дефекта.

### Л и т е р а т у р а

- [1] Parada N. J., Pratt G. W. Phys. Rev. Lett., 1969, vol. 22, N 5, p. 180—183.
- [2] Hemstreet L. A. Phys. Rev. B, 1975, vol. 11, N 6, p. 2260—2270.
- [3] Волков Б. А., Панкратов О. А. ЖЭТФ, 1985, т. 88, № 1, с. 280—293.
- [4] Волков Б. А., Панкратов О. А., Сазонов А. В. ЖЭТФ, 1983, т. 85, № 10, с. 1395—1408.
- [5] Lent G. S., Bowen M. A., Allgaier R. S., Dow J. D., Sankey O. F., Ho E. S. Sol. St. Commun., 1987, vol. 61, N 2, p. 83—87.
- [6] Hjalmarson H. P., Vogl P., Wolford D. J. Dow J. D. Phys. Rev. Lett., 1980, vol. 44, N 12, p. 810—813.
- [7] Swarts C. A., Daw M. S., McGill T. C. J. Vac. Sci. Technol., 1982, vol. 21, N 1, p. 198—200.
- [8] Бургуэн Ж., Ланно М. Точечные дефекты в полупроводниках. Экспериментальные аспекты. 1985, М.: Мир. 304 с.
- [9] Lischka K. Phys. St. Sol. B, 1986, vol. 133, N 9, p. 17—46.
- [10] Harrison W. A. Phys. Rev. B, 1985, vol. 31, N 4, p. 2121—2131.

Физический институт им. П. Н. Лебедева АН СССР  
Москва

Поступило в Редакцию  
7 августа 1987 г.

УДК 538.945:538.951

Физика твердого тела, том 30, в. 3, 1988  
*Solid State Physics*, vol. 30, N 3, 1988

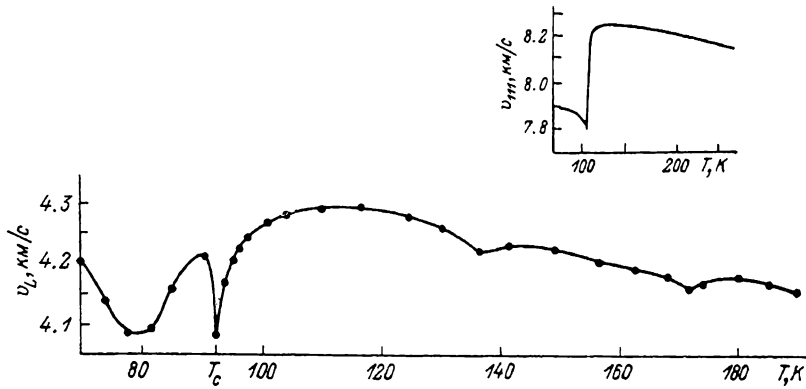
## ТЕМПЕРАТУРНАЯ ЗАВИСИМОСТЬ СКОРОСТИ ЗВУКА В Y—Ba—Cu—O

Л. А. Чернозатонский, А. И. Головашкин,  
О. М. Иваненко, К. В. Мицен,  
Л. Л. Пальцев, В. И. Пустовойт,  
Е. Ф. Токарев, Ф. Ш. Хатамов, В. Н. Шорин

Известно [1, 2], что оксидные керамики типа Ba—Y—Cu—O становятся сверхпроводящими в диапазоне температур  $T_c \sim 80 \div 100$  К. В настоящее время проведены широкие исследования физических свойств таких керамик [3—4], однако данные по их акустическим свойствам отсутствуют.

В работе проведено исследование температурной зависимости скорости продольных ультразвуковых волн на частотах 20—24 МГц в пластинах  $\text{YBa}_2\text{Cu}_3\text{O}_{7-\delta}$  ( $\delta \sim 0.1$ ). Керамика изготавлялась обычным способом [1] в виде прессованных таблеток толщиной 3—5 мм, диаметром 8—16 мм и имела температуру сверхпроводящего перехода  $T_c = 92$  К. Рентгеноструктурный анализ показал однофазность образцов с точностью до 1 %. Измерения скорости проводились импульсным фазовым методом [5] по интерференционным картинам наложения отраженного от одной полированной грани акустического импульса и второго импульса, возбуждае-

мого в электроакустическом преобразователе. Преобразователь из пластины  $Y - 36^\circ$  среза  $\text{LiNbO}_3$  приклеивался к другой грани образца. Мощность заводимого в образец ультразвука была порядка  $100 \text{ мВт}/\text{см}^2$ . Точность установления интерференционных максимумов и минимумов (соответственно и значений скорости звука) составляла  $\sim 1\%$ . Измерения проводились от низких температур к высоким с интервалом  $\Delta T \sim 1 \text{ К}$  в диапазоне  $70 - 190 \text{ К}$  при помощи платинового термометра точность не хуже  $0.01 \text{ К}$ . Время установления температуры для каждой точки выдерживалось 30 минут.<sup>1</sup> В районе  $80 \text{ К}$  наблюдался широкий минимум в за-



Зависимость скорости продольной ультразвуковой волны от температуры в  $\text{Y}-\text{Ba}-\text{Cu}-\text{O}$ .

На вставке —  $v'_L (T)$  для  $\text{SrTiO}_3$  [°].

вимости  $v_L (T)$ , а в районе  $T = T_c$  — узкий минимум (см. рисунок). Характер поведения скорости продольных волн вблизи  $T_c$

$$v_L (T) = \left( 1 + \frac{0.04}{T - T_c} \right) 432 \text{ м/с}, \quad T > T_c \quad (1)$$

аналогичен поведению скорости продольных акустических волн в перовските  $\text{SrTiO}_3$  при приближении к температуре фазового перехода  $T_m = 103 \text{ К}$ . Скакок скорости:  $|v(T_c) - v(T > T_c)|/v(T_c) \sim 5\%$  и в том и в другом случае одинаков (сравни вставку на рисунке). Подобное поведение  $v_L$  вблизи  $T = T_m$  обычно связывают с несегнетоэлектрическим фазовым переходом, широко распространенным в керамиках со структурой перовскита, к которым принадлежит исследуемая, а сам переход объясняют смягчением модулей упругости при слабом повороте кислородного октаэдра вокруг оси  $C$  [6, 7]. Однако поведение  $v_L$  при  $T < T_c$  в отличие от поведения  $v_L (T < T_m)$  для перовскитов-диэлектриков (сравни  $v_L (T)$  для  $\text{SrTiO}_3$  на рисунке), характеризуется подъемом значения  $v_L$  почти до «предпереходной» величины в районе  $90 \text{ К}$ . Минимум  $v_L (T_c)$  можно объяснить и влиянием сильных флуктуаций в точке сверхпроводящего перехода, связанных с антиферромагнитной неустойчивостью при приближении точки Нееля  $T_N$  к  $T_c$  [8]. Второй минимум скорости  $v_L (T_2 \approx 80 \text{ К})$  может быть связан со скрытой теплотой при фазовом переходе  $T = T_c \approx T_N$ , близком, согласно [8], к переходу первого рода, либо с тем, что в оболочке зерен керамики СП переход происходит при меньшей температуре, чем в сердцевине [2, 3] ( $T_2 = T_c^0 < T_c$ ).

Сильное рассеяние ультразвука из-за зернистости и пористости образцов, что связано со спецификой их приготовления [1-3], не позволило хорошо воспроизвести температурную зависимость коэффициента поглощения ультразвука по амплитудным зависимостям эхо-сигналов. По этой же причине в образцах не удалось возбудить продольные акустические волны

<sup>1</sup> При более быстром времени ( $\tau \sim 5 - 10 \text{ мин}$ ) характер зависимости  $v_L (T)$  не изменился, но ее минимумы сдвигались на  $5 - 10 \text{ К}$  выше по температуре, что, по-видимому, связано с плохим выравниванием  $T$  по образцу.

на частотах 70 и 100 МГц. Отметим лишь, что вблизи  $T = T_2$ ,  $T_c$  наблюдались флюктуации в коэффициенте затухания и форме акустических эхо-сигналов.

Авторы благодарны З. М. Магомедову за помощь в проведении экспериментов, а также участникам общемосковского семинара под руководством В. Л. Гинзбурга за обсуждение результатов.

### Л и т е р а т у р а

- [1] Wu M. K., Asbun J. R., Torng C. J. et all. Phys Rev. Lett., 1987, vol. 58, N 9, p. 908—911.
- [2] Hikami S., Hirai T., Kagoshima S. Jap. J. Appl. Phys., 1987, vol. 26, N 4, p. L314—316.
- [3] Jap J. Appl. Phys., 1987, vol. 26, N 5, Letters. Specialis section.
- [4] Tarascon J. M., Greene L. H., McKinnon W. R., Hull J. V. Phys. Rev., 1987, vol. B35, N 13, p. 7115—7117.
- [5] Мак-Скимин Г. В кн.: Физическая акустика / Под ред. У. Мезона, т. I, ч. А гл. 4. М.: Мир, 1966. 592 с.
- [6] Баррет Г. В кн.: Физическая акустика / Под ред. У. Мезона и Р. Терстона, т. VI, гл. 2. М.: Мир, 1973. 432 с.
- [7] Unoki H., Sacudo T. J. Phys. Soc. Japan, 1967, vol. 23, N 3, p. 546—552.
- [8] Савченко М. А., Стефанович А. В. Флюктуационная сверхпроводимость магнитных систем. М.: Наука, 1986. 144 с.

ВНИИФТРИ  
Московская область

Поступило в Редакцию  
3 июля 1987 г.  
В окончательной редакции  
11 августа 1987 г.

УДК 621.315.592

Физика твердого тела, том 30, в. 3, 1988  
*Solid State Physics*, vol. 30, № 3, 1988

## ЗАВИСИМОСТЬ ЭНЕРГИИ СВЯЗАННЫХ ЭКСИТОНОВ: В КРИСТАЛЛЕ $\text{Cu}_2\text{O} : \text{Cd}$ ОТ ДАВЛЕНИЯ

Ф. И. Крейнгольд, Б. С. Кулинкин,  
М. Л. Шубников

Для изучения структуры энергетических зон и природы дефектов в полупроводниках в последнее время широко применяются спектроскопические исследования при высоком гидростатическом давлении [1]. В [2, 3] рассматривалось влияние гидростатического давления на спектр свободных экситонов кристалла закиси меди. Было установлено, что с ростом давления увеличивается ширина запрещенной зоны и одновременно уменьшается энергия связи экситонов (желтая серия). Представляло интерес также исследовать влияние давления на спектр связанных экситонов в  $\text{Cu}_2\text{O}$ .

В настоящей работе мы исследовали влияние гидростатического давления на спектр люминесценции кристаллов закиси меди, легированных кадмием. Наблюдалось уменьшение энергии диссоциации связанных экситонов с давлением. Энергия диссоциации «мелких» связанных экситонов  $E_{1d} = 70 \text{ см}^{-1}$  уменьшается со скоростью  $dE_{1d}/dP = -4 \text{ см}^{-1}/\text{кбар}$ , а экситонов с  $E_{2d} = 210 \text{ см}^{-1}$  со скоростью  $dE_{2d}/dP = -13 \text{ см}^{-1}/\text{кбар}$ . Соответственно при давлении выше 20 кбар происходит диссоциация связанных экситонов, и в спектре люминесценции удается зарегистрировать излучение только свободных экситонов.

Кристаллы закиси меди выращивались методом гидротермального синтеза. Для измерений отбирались монокристаллы размером около 0.2 мм, имеющие яркую люминесценцию. Для создания квазигидростатического